

II-57 河口部における波の変形の実験的研究

大阪大学工学部

全 上

正員 室田 明

学生員 ○ 渡辺 泰清

1. 実験目的

河口部海岸堤防の計画設計に当っては、河口からの流出と来襲する波の相互干渉について、的確な資料が必要である。たとえば流れによる波の屈折に関するところではよく知られている通り、J.W. Johnson が深水波の仮定のもとに、一様な流れと静止領域の境界で起る屈折と碎波についての解析を行っている。ところで、通常の河口からの流出水束の流れの運動エネルギーは来襲する波動エネルギーに比べて十分大きいとは考えられないので Johnson の場合とは逆に、流れの方が変形するということを予想される。以上の問題について実験を行ったところを報告する。

2 実験装置および実験方法

図1に示す如く、 $6.00\text{m} \times 9.50\text{m}$ の水槽に長さ10m幅0.30mの河川に相当する水路が接続している。沖側海底は水平床で海岸付近で1/10の浜こう配とし、汀線附近に傾斜の変えうる海岸堤防模型を設ける。河川流はつねにせき上げ背水の状態で実験を行うものとする。海岸堤防は下端ヒンヂの鉄板とし、そのこう配を1/1と1/3の2種類について模擬する。また沖水深18, 22.5および28cmの3種類とし、河川流量は4.9, 9.4および12.8l/secで、河口部のフルード数は0.10～0.16の範囲である。波起し機はフラッタ型で実験に使用した波は2～6cmで、波起し機を移動して入射角 $0^{\circ}, 30^{\circ}, 45^{\circ}, 60^{\circ}$ の4方向から波を送ることが出来る。波高測定は電気抵抗式波高計によりペン書きオッショロに記録する。波の差測定は第5波前後の波につき写真撮影により観察し、流心方向の流速分布はフロートをストロボで照射し、追跡撮影して求めめる。水槽のまわりに波のエネルギーを吸収する消波工を設ける。

3 波の峰線の変形

峰線の変形の概略を図2に示す。写真および目測から判断すると波の峰線の差量は河口に近づくほど大きく流れの影響を受けた波の峰線は流れの影響を受けな

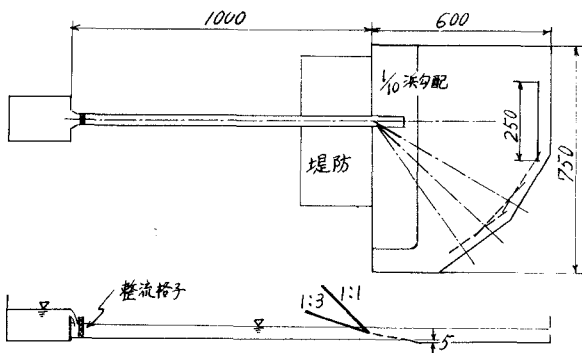


図1

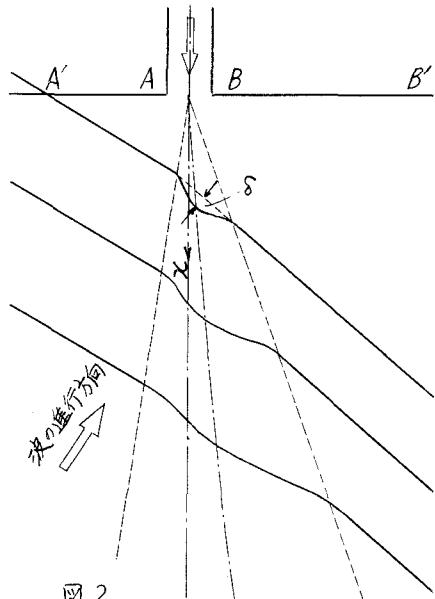


図2

ない峰線より波の伝播がおくれている。流れによる波の変形の定量的表示として、図2の峰線の差量 δ を用いる。河口から距離 x を用いて差量 δ を無次元化して、流れの無次元量としてフルード数(F)を用い、 δ/x と F の関係を示せば図3の如くである。 δ/x は F の増加とともに単調に増加する傾向をとるはずである。しかし実測値はばらついて明確な傾向を示していない。ところで静水における河川流出について core の部分はフロート追跡の結果 2m 稲までおよぶ流心上の流速はほぼ一定である。差量の測定は河口から冲 2m までの範囲で行い、フルード数(F)としては流心上の値を採用している。

4 打ちあげ高さ

流れの影響を受けた側(図2のB-B')と受けない側(図2のA-A')の部分について、その打ちあげ高はかなり変形すると思われる所以で、その各々について打ちあげ高の観測を行った。実験結果を図4,5に示す。流れの影響を受けた側(図2のB-B')と流れの影響を受けない側(図2のA-A')とではA-A'ではデータのはらつきは小さくB-B'のはらつきは大きい。流れの効果と思われる顕著な傾向は現われない。しかし堤防こう配1:1と1:3の場合を比較すると前者の相対打ちあげ高は後者のそれより大きく出ている。これはSaville²⁾の実験曲線と比較すると前者はそれより大きく後者はそれより小さい。これは波の入射角の相違により相対打ちあげ高は波の入射角が大きくなると摩擦を受けた距離が長いから相対打ちあげ高さは減少するのではないかと思われる。

参考文献

- 1) J.W.Johnson : The refraction of surface waves by currents, Trans. AGU (1947)
- 2) Saville : Wave run-up on shore structures, Proc.ASCE. (1956)

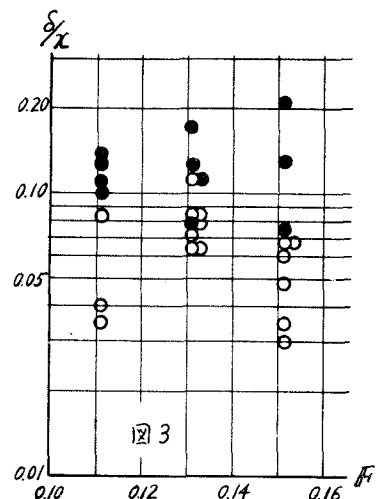


図3

| 入射角 | 1:1 | 1:3 |
|-----|-----|-----|
| 0° | ○ | □ |
| 30° | ● | ■ |
| 45° | ⊖ | △ |
| 60° | ● | ■ |

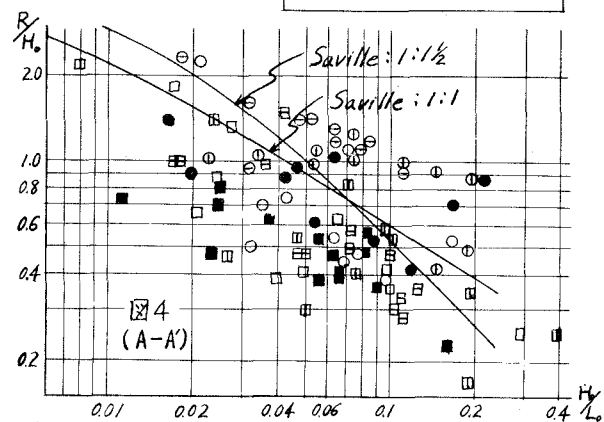


図4
(A-A')

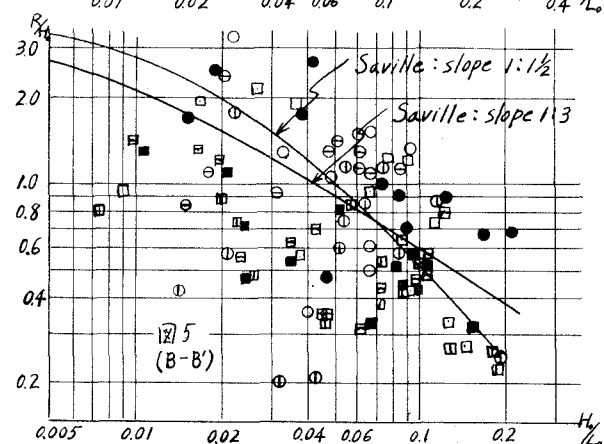


図5
(B-B')